

ОЦЕНКА НАДЁЖНОСТИ СЛОЖНЫХ ИНФОРМАЦИОННЫХ СИСТЕМ С ПЕРЕКРЕСТНЫМИ СВЯЗЯМИ

Рассмотрены вопросы оценки надежности работы сложных телекоммуникационных информационных систем с множеством перекрёстных связей. С целью получения способа аналитической оценки надежности был предложен новый подход, включающий представление сложных систем в виде цепи эквивалентных блоков. Предложенный подход позволяет получить функции распределения отказов системы в аналитическом виде и определить зависимость интенсивности отказов от времени наработки на отказ, значительно упростить определение предварительной оценки надёжности на этапе исследовательского анализа системы и сформулировать экономически обоснованные требования к параметрам проектируемых систем.

Розглянуто питання оцінки надійності роботи складних телекомунікаційних інформаційних систем з великою кількістю перехресних зв'язків. З метою одержання способу аналітичної оцінки надійності був запропонований новий підхід, що включає подання складних систем у вигляді ланцюга еквівалентних блоків. Запропонований підхід дозволяє одержати функції розподілу відмов системи в аналітичному виді й визначити залежність інтенсивності відмов від часу наробітку на відмову, значно спростити визначення попередньої оцінки надійності на етапі дослідницького аналізу системи й сформулювати економічно обґрунтовані вимоги до параметрів систем, що проектуються.

The problems of evaluation of complex telecommunication - information systems with a plurality of cross communications are examined. A new approach to an analytical evaluation of the reliability was proposed including presentation of complex systems as a circuit of equivalent blocks. The proposed approach allows derivation of the function of the system- failure distribution in an analytical form and determination of the dependency of failure intensities on the failure time as well as a significant simplification of the preliminary reliability evaluation at the stage of the research analysis of the system and formulation of economical requirements for parameters of developed systems.

Развитие интернет-коммуникаций привело к появлению ряда ресурсов, отличающихся большой посещаемостью, огромными базами данных, набором многочисленных сервисов, предоставляющих пользователям новые функции. Это крупные поисковые системы, новостные порталы, социальные сети, файлообменники и пр.

Их технические средства представляют собой комплексы из сотен и тысяч серверов, различающихся параметрами отказоустойчивости, мощности, быстродействия. Оценка надёжности таких систем усложняется наличием множества перекрёстных связей между серверами, различными способами осуществления балансировки нагрузки и кластеризации. В то же время изменение схемы соединения элементов системы может существенно повлиять на вероятностные характеристики надёжности системы [1 – 3].

Целью работы является получение способа оценки надежности работы сложной информационной системы, который включает выбор обобщённой функции и последующую аппроксимацию функции распределения времени безотказной работы.

Рассмотрение схем соединения начнём с элементарных примеров узлов содержащих firewall-балансер, два web-сервера и кластер системы управления базой данных (СУБД) из двух серверов и хранилища данных (рис. 1). Затем последовательно будем усложнять схему, доведя её до общего случая, содержащего n_1 web-серверов и n_2 серверов баз данных.

В данной схеме Firewall и хранилище данных соединены последовательно с остальными элементами узла и эти блоки не добавляют сложностей в расчёты надёжности, поэтому ограничимся рассмотрением схемы соединения web- и СУБД-серверов.

© В. Ф. Пожидаев, П. И. Заболотный, Д. Н. Марченко, 2014

Техн. механика. – 2014. – № 1.

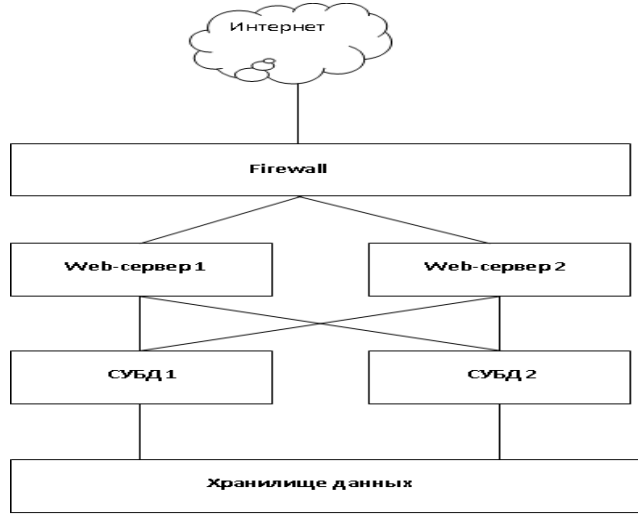


Рис. 1

Для жёстко заданной схемы и при условии простейшего потока отказов каждого из узлов сложной информационной системы можно аналитически получить функцию распределения $F(t)$ случайного времени отказа всей схемы [4 – 6].

Обозначим эту функцию $F(t) = P\{\tau < t\}$, где τ – рассматриваемый момент времени.

Таким образом, $p = F(t)$ – вероятность отказа узла, $q = 1 - p$ – вероятность безотказной работы узла.

В случае простейшего потока событий (отказов)

$$F(t) = 1 - \exp(-\lambda t), \quad (1)$$

где λ – интенсивность отказов узла.

Каждый из узлов характеризуется своим значением величины λ .

При этом функция распределения отказов всей системы может быть получена аналитически в явном виде. Её вид может быть произвольным и заведомо не характеризовать поток как простейший. В частности, её можно аппроксимировать выражением, свойственным простейшему потоку,

$$F(t) = 1 - \exp(-\lambda_c t), \quad (2)$$

здесь λ_c – интенсивность отказов системы.

Однако расчетная модель, с использованием для аппроксимации выражения (2), будет иметь значительное расхождение с параметрами реальной системы. В первую очередь из-за того, что реальная система (даже самая простая), как правило, состоит из нескольких элементов, взаимодействие которых выражение (2) не учитывает.

С другой стороны, модель реальной системы можно несколько упростить, например, представив её в виде набора эквивалентных блоков, соединенных в последовательно-параллельные цепи. Тогда задача аппроксимации реальной системы разделяется на два этапа. Первый – это построение цепи

эквивалентных блоков. Второй – построение функции распределения для полученной эквивалентной системы [7].

Для получения аналитического выражения функции распределения отказов реальной схемы $F_c(t) = P$ рассмотрим постепенное усложнение схемы. При этом остаемся в рамках уже сделанных обозначений: отказы узла создают простейший поток событий и вероятность отказа единичного узла p подчиняется экспоненциальному закону $p = F(t) = 1 - \exp\{-\lambda t\}$, вероятность безотказной работы $q = 1 - p = e^{-\lambda t}$. Величина q характеризует надежность схемы.

При последовательном соединении двух узлов с интенсивностями отказов λ_1 и λ_2 вероятности безотказной работы перемножаются, то есть $q_c = q_1 \cdot q_2$. Это значит, что $F_c(t) = e^{-\lambda_c t} = e^{-\lambda_1 t} \cdot e^{-\lambda_2 t} = e^{-(\lambda_1 + \lambda_2)t}$ и, следовательно, $\lambda_c = \lambda_1 + \lambda_2$, то есть интенсивности отказов складываются.

При параллельном соединении вероятности отказов узлов перемножаются $p_c = p_1 \cdot p_2$. Это значит, что $F_c(t) = P_c = (1 - e^{-\lambda_1 t})(1 - e^{-\lambda_2 t})$.

В случае равенства интенсивностей отказов $\lambda_1 = \lambda_2 = \lambda$ распределение времени безотказной работы приобретает вид $F_c(t) = (1 - e^{-\lambda t})^2$.

При параллельном соединении n узлов имеем для функции распределения времени работы до первого отказа $F_c(t) = (1 - e^{-\lambda t})^n$. Значение $n > 1$ повышает надежность схемы, так как увеличивается вероятность безотказной работы за текущее время [8 – 10].

Основная идея состоит в том, что обобщенный закон распределения безотказной работы предлагается реализовать в виде $F(t) = (1 - e^{-\lambda t})^\nu$, где под величиной ν понимаем функциональную избыточность системы. Целое значение ν соответствует параллельному дублированию работы ν элементов. В общем случае избыточность или повышение надежности достигается схемным путем.

Для простейшего потока событий параметр λ имеет смысл интенсивности событий (в нашем случае, отказов). В общем случае для потока отказов с функцией распределения времени наработки на отказ $F(t)$ интенсивность отказов $r(t)$ есть функция времени и определяется как отношение плотности распределения отказов в данный момент времени к вероятности безотказной работы за время, большее, чем данное [2, 3, 11]:

$$r(t) = \frac{f(t)}{1 - F(t)}.$$

Нетрудно проверить, что для экспоненциального закона $r(t) = \lambda = \text{const}$, и это вызывает большие сомнения в правильности принимаемой гипотезы.

Для обобщенной функции распределения $F(t) = (1 - e^{-\lambda t})^\nu$ плотность распределения представляется в виде $f(t) = F'(t) = \lambda \nu e^{-\lambda t} (1 - e^{-\lambda t})^{\nu-1}$.

Тогда интенсивность отказов равна

$$r(t) = \frac{\lambda\nu \cdot e^{-\lambda t} (1 - e^{-\lambda t})^{\nu-1}}{1 - (1 - e^{-\lambda t})^\nu}.$$

При $\nu = 1$, когда резервирования нет, $r(t) = \lambda$. В общем случае при $\nu \neq 1$ полученное выражение для $r(t)$ может быть использовано для оценки скорости старения системы.

Анализ схем с любым количеством параметров $\bar{\lambda} = \{\lambda_1, \lambda_2, \dots\}$ и их сравнение при произвольных структурах сводится к сравнению двух обобщенных законов, каждый с двумя параметрами $\{\lambda, \nu\}$.

Для начала возвратимся к схеме с простейшим потоком отказов и рассмотрим вывод законов распределения для различных схем, постепенно усложняя их структуру.

Для последовательного соединения двух элементов $q_c = q_1 \cdot q_2$ функция распределения системы имеет вид $F_c(t) = 1 - e^{-(\lambda_1 + \lambda_2)t}$.

На рис. 2 представлена схема, в которой имеет место объединение двух уровней из рис. 1 с добавлением всех перекрестных информационных связей.

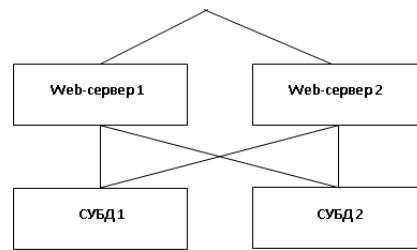


Рис. 2

Вся схема работоспособна, только если срабатывает ее первый уровень, то есть узлы web 1 или web 2. Если оба узла отказывают, то отказывает и вся схема. Поскольку эти узлы работают по законам параллельного соединения,

$$F_I(t) = F_{1,2}(t) = P_{1,2} = (1 - e^{-\lambda_1 t})(1 - e^{-\lambda_2 t}).$$

Если первый уровень пропускает сигнал, то есть хотя бы один из его узлов не отказал, то второй уровень (СУБД 1 и СУБД 2) работают по той же схеме, как и первый уровень:

$$F_{II}(t) = F_{3,4}(t) = P_{3,4} = (1 - e^{-\lambda_3 t})(1 - e^{-\lambda_4 t}).$$

Оба эти уровня работают по схеме последовательного соединения: вся схема отказывает, если отказывает любой из уровней. То есть, согласно [12 – 13]

$$F_c(t) = 1 - (1 - F_I(t))(1 - F_{II}(t)),$$

где $F_I(t)$ и $F_{II}(t)$ получены выше.

Окончательно функция распределения времени до отказа системы принимает вид

$$F_c(t) = 1 - \left(1 - \left(1 - e^{-\lambda_1 t}\right)\left(1 - e^{-\lambda_2 t}\right)\right)\left(1 - \left(1 - e^{-\lambda_3 t}\right)\left(1 - e^{-\lambda_4 t}\right)\right). \quad (3)$$

Это значит, что оба уровня в сочетании друг с другом функционально связаны как два элемента в последовательном соединении, а все элементы, входящие в каждый уровень, работают параллельно.

Подобная схема вывода совершенно идентично переносится на случай трех, четырех, ..., n цепочек из элементов, отказ каждого из которых носит характер простейшего потока событий.

Рассмотрим более общую схему соединения серверов высоконагруженного ресурса, с числом web-серверов n_1 и n_2 – числом СУБД серверов. Эта схема представлена на рис. 3.

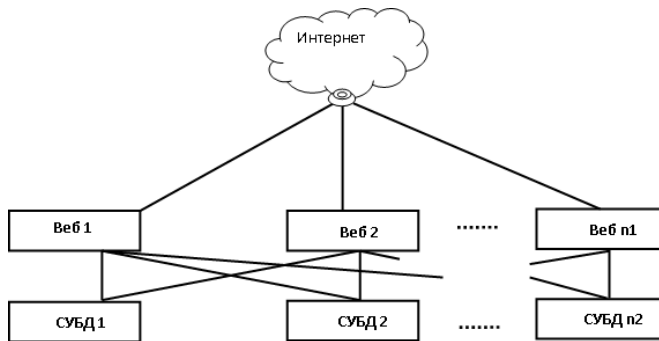


Рис. 3

Аналитическое выражение функции распределения времени наработки на отказ такой схемы имеет вид:

$$F_c(t) = 1 - \left(1 - \prod_{k=1}^{n_1} \left(1 - e^{-\lambda_k t}\right)\right) \left(1 - \prod_{k=1}^{n_2} \left(1 - e^{-\lambda_k t}\right)\right), \quad (4)$$

где n_1 и n_2 – количество элементов первого и второго уровня. Если общая схема такова, что имеется более двух уровней, допустим их будет m , то выражение (4) примет вид:

$$F_c(t) = 1 - \prod_{ni=1}^m \left(1 - \prod_{k=1}^{ni} \left(1 - e^{-\lambda_k t}\right)\right). \quad (5)$$

Для практического использования при проектировании и анализе схем соединения серверов для каждого набора параметров $\{\lambda_1, \lambda_2, \dots, \lambda_n\}$ будем находить наилучшее приближение для выражения (5) с помощью обобщенной функции распределения $F(t|\lambda, \nu) = (1 - e^{-\lambda t})^\nu$.

В данном случае предлагается находить такие значения параметров $\{\lambda, \nu\}$, при которых наибольшее по абсолютной величине относительное отклонение двух функций распределения наименьшее. При этом выполняется существование

$$\min_{\{\lambda, \nu\}} \max_t \left| \frac{F_c(t) - F(t|\lambda, \nu)}{F_c(t)} \right|.$$

В качестве примера рассмотрим узлы состоящие из 2, 3, 5, 8 и 20 серверов на каждом уровне.

В таблице 1 представлены исходные данные для каждого из 5 вариантов расчета и полученные значения λ и ν для законов распределения времени до отказа всей системы. Минимизация указанного выше критерия проводилась методом модифицированного случайного поиска.

Таблица 1

n_1	n_2	λ_1	λ_2	λ	ν
2	2	0,001	0,005	0,000528605	2,03328
3	3	0,001	0,005	0,000509445	3,02326
4	4	0,001	0,005	0,000503539	4,01448
8	8	0,001	0,005	0,000500317	8,00254
20	20	0,001	0,005	0,000500181	20,0195

На рис. 4 приведены графики законов распределения времени до отказа всей системы для примеров из таблицы 1.

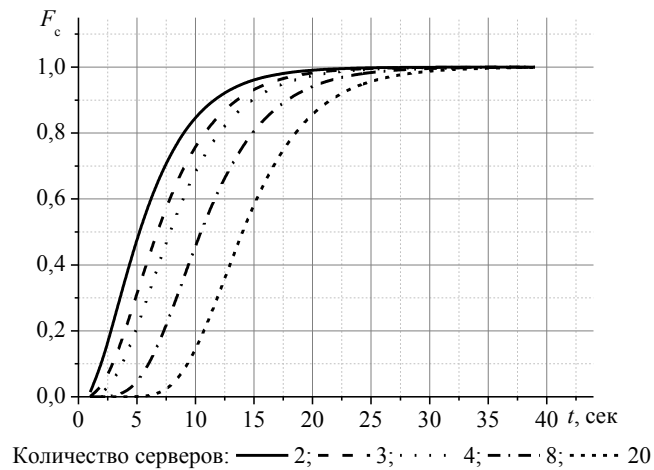


Рис. 4

Результаты таблицы 1 свидетельствуют о том, что для частного случая равенства $n_1 = n_2$ и $\lambda_1 = \text{const}$ и значения параметров обобщенного распределения $\lambda = \max\{\lambda_1, \lambda_2\}$ и $\nu = n_1 = n_2$ могут быть назначены в качестве начальных значений при поиске.

Сопоставим выражения для обобщенного закона распределения случайного времени наработки на отказ $F(t|\lambda, \nu) = (1 - e^{-\lambda t})^\nu$ всей большой системы и закона распределения (5), непосредственно связанного со структурой рассматриваемой системы.

Кстати, условие простейшего потока событий для каждого элемента схемы с интенсивностью потока отказов λ_k носит чисто иллюстративный характер и нигде в наших рассуждениях не принципиально. Если отказы не

подчиняются экспоненциальному закону, то для каждого k -го узла всей схемы необходимо заменить экспоненциальный закон $F(t) = 1 - e^{-\lambda_k t}$ с параметром λ_k , имеющим смысл интенсивности отказов, на тот, которым описываются отказы в данном узле данной схемы, конкретно на $F(t, \bar{\theta}_k)$, где $\bar{\theta}_k$ – вектор параметров, характерный для данной функции распределения, смысл которых в каждом конкретном случае свой. Это особенно важно при проектировании.

Тогда выведенная формула для потока отказов всей схемы с m уровнями приобретает вид:

$$F_c(t) = 1 - \prod_{n_i=1}^m \left(1 - \prod_{k=1}^{n_i} F(t, \bar{\theta}_k) \right), \quad (6)$$

где k – номер узла (или наиболее простого элемента) системы, n_i – количество элементов в каждом уровне, m – количество уровней.

Заметим также, что критерий выбора параметров $\{\lambda, \nu\}$ обобщенной функции связан с метрикой в функциональном пространстве функций распределения. Анализ вычислений показал, что расчет расстояния по метрике $\min_{\{\lambda, \nu\}} \max_t \left| \frac{F_c(t) - F(t|\lambda, \nu)}{F_c(t)} \right|$ иногда целесообразно заменить на расчет с метрикой $\min_{\{\lambda, \nu\}} \max_t |F_c(t) - F(t|\lambda, \nu)|$.

Это связано с невозможностью получения сколь угодно высокой точности вычислений на хвостах распределений. При $t \rightarrow 0$, в частности, минимакс относительного отклонения равносителен требованию $\frac{F_c(t)}{F(t|\lambda, \nu)} \rightarrow 1$.

На рис. 4 видно, что чем больше величина функциональной избыточности, тем более пологая $F_c(t)$ и тем медленнее она растет при малых значениях t . Ограничивааясь первым членом ряда Маклорена для $F = F(t|\lambda, \nu) = (1 - e^{-\lambda t})^\nu$, получим $F \approx (1 - (1 - \lambda t))^\nu = (\lambda t)^\nu$, $t \rightarrow 0$.

В двойных логарифмических координатах $\ln F = \nu \ln \lambda + \nu \ln t$ величина ν есть угловой коэффициент линейного участка графика зависимости $\ln F$ от $\ln t$. Его значение носит характер фрактальной размерности. Поскольку большая система приобретает свойства, не присущие ее элементам, то и сложность решаемых задач выходит за рамки тех определений, которые использовались при ее конструировании. Также и понятие функциональной избыточности имеет другую категорию, чем параллельное дублирование элементов.

Для начального приближения значений ν и λ составим таблицу $x_i = \ln t_i | y_i = \ln F_i$. Параметры a_0 и a_1 прямой линии $y = a_0 + a_1 x$ получаем из минимума суммы квадратов отклонений. Для их определения решаем систему линейных уравнений. Их матричная форма имеет вид

$$\begin{pmatrix} N & \sum x & \sum y \\ \sum x & \sum x^2 & \sum xy \end{pmatrix},$$

где N – число строк в таблице $x_i = \ln t_i | y_i = \ln F_i$.

Далее последовательно находим:

$$\Delta = N \cdot \sum x^2 - (\sum x)^2,$$

$$\Delta_0 = (\sum y)(\sum x^2) - (\sum x)(\sum xy), \quad \Delta_1 = N \cdot \sum xy - (\sum x)(\sum y),$$

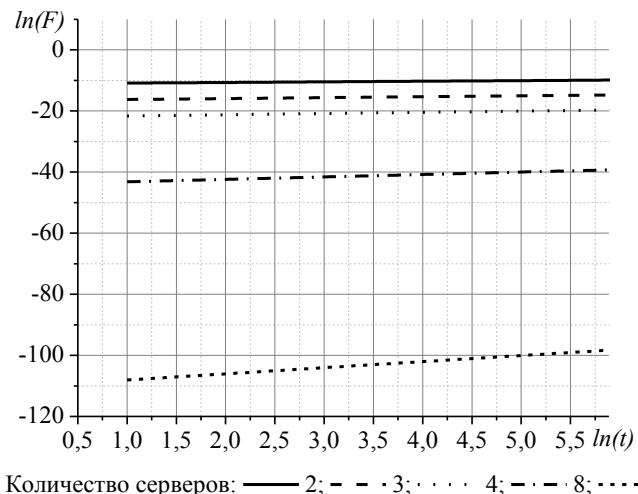
$$a_0 = \frac{\Delta_0}{\Delta}, \quad a_1 = \frac{\Delta_1}{\Delta}.$$

Для получения ν и λ составим систему

$$\begin{cases} a_0 = \nu \cdot \ln \lambda, \\ a_1 = \nu. \end{cases} \Rightarrow \begin{cases} \nu = a_1, \\ \lambda = \exp \left\{ \frac{a_0}{a_1} \right\}. \end{cases}$$

Отсюда получаем оценки значений ν и λ ($\tilde{\nu}$ и $\tilde{\lambda}$): $\tilde{\nu} = a_1$, $\tilde{\lambda} = e^{a_0/a_1}$.

Практическое использование этого факта состоит в возможности сделать предварительную оценку параметров λ и ν . На рис. 5 представлены графики зависимости $\ln(F)$ от $\ln(t)$ для данных из таблицы 1.



Количество серверов: — 2; - - 3; ··· 4; - - - 8; ····· 20

Рис. 5

Как было показано выше, в общем случае интенсивность отказов равна

$$r(t) = \frac{\lambda \nu \cdot e^{-\lambda t} (1 - e^{-\lambda t})^{\nu-1}}{1 - (1 - e^{-\lambda t})^\nu}.$$

При $\nu = 1$ без резервирования интенсивность отказов постоянна $r(t) = \lambda$. Вначале при малых значениях t интенсивность отказов мала. При возрастании времени эксплуатации большой системы интенсивность отказов

растёт, что хорошо согласуется с физическим смыслом. На рис. 6 приведена зависимость интенсивности отказов системы от времени для схем, представленных в таблице 1.

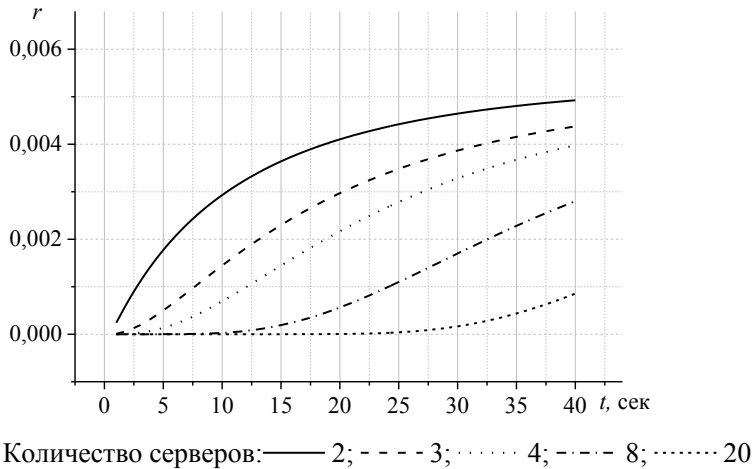


Рис. 6

При неограниченном возрастании времени кривая $r(t)$, оставаясь выпуклой вверх, растёт, насыщаясь до некоторого предела. Найдём его при $t \rightarrow \infty$:

$$r(t) \rightarrow \frac{\lambda \nu \cdot e^{-\lambda t} \cdot (1 - (\nu - 1) \cdot e^{-\lambda t})}{1 - (1 - \nu \cdot e^{-\lambda t})} = \lambda \left(1 - \frac{\nu - 1}{e^{\lambda t}} \right) \rightarrow \lambda.$$

Таким образом, величина $\lambda = \sup_{\{t\}} r(t)$ является точной верхней гранью

для интенсивности отказов.

Использование простейшего потока отказов не является обязательным требованием и носит чисто иллюстративный характер. Использование данной методики правомерно для описания модели отказов как для потоков Эрланга, так и для схем элементов с распределением времени до отказа, описываемым другими функциями, например Вейбулла или логнормальным законами. Покажем на примере схемы из 2 web-серверов и 2 СУБД результаты аппроксимации функции распределения отказов системы обобщённой функцией.

В таблице 2 приведены параметры функций распределения отказов элементов системы и результаты аппроксимации при исходных распределениях по закону Вейбулла: $F(t) = 1 - \exp(-\alpha \cdot t^\nu)$.

Таблица 2

$\alpha_1[1]$	$r_1[1]$	$\alpha_1[2]$	$r_1[2]$	$\alpha_2[1]$	$r_2[1]$	$\alpha_2[2]$	$r_2[2]$	$\lambda \cdot 10^4$	ν
0,001	0,6	0,001	0,6	0,005	0,8	0,005	0,8	0,9316	1,3497

На рис. 7 представлены результаты расчёта функции распределения времени до отказа системы и аппроксимация её обобщённой функцией с параметрами из таблицы 2.

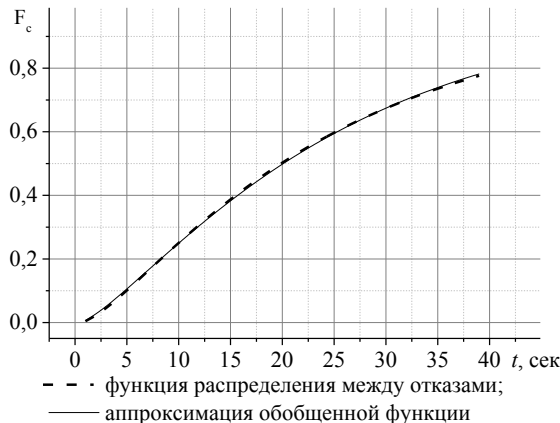


Рис. 7

Приведенные результаты по оценке функциональной избыточности и асимптотической интенсивности отказов системы позволяют выйти на экономически обоснованные требования к параметрам проектируемых систем. Суммарные потери Π при построении систем и их эксплуатации складываются из двух составляющих $\Pi = \Pi_1 + \Pi_2$, где первое слагаемое определяется степенью надёжности и пропорционально величине функциональной избыточности, а второе слагаемое – это потери от отказов системы, пропорциональные вероятности отказов. Таким образом, общие потери равны

$$\Pi = \Pi(\nu, \lambda) = \nu C_1 + (1 - F_c) C_2,$$

где C_1 – удельная стоимость увеличения функциональной избыточности, C_2 – виртуальные потери прибыли от отказов в услугах клиентов, F_c – значение функции распределения отказов системы за время морального старения её элементов.

Первое слагаемое возрастает с ростом функциональной избыточности, второе – убывает. Минимальное значение потерь достигается при оптимальных значениях параметров закона распределения отказов системы, которые обеспечиваются выбором элементов при проектировании.

Отдельным этапом при обосновании проекта системы должен стать анализ полученной функции потерь с целью её минимизации.

Таким образом, проведенные исследования позволили определить зависимость интенсивности отказов от времени наработки на отказ для сложных технических информационных систем с наличием множества перекрёстных связей между серверами и различными способами осуществления взаимодействия между ними и показали ограниченность изменения интенсивности отказов во времени.

Это позволяет значительно упростить определение предварительной оценки надёжности на этапе исследовательского анализа системы.

1. Ковалёв А. П. Анализ и расчёт надёжности сложных структур с использованием ЭВМ / А. П. Ковалёв, А. В. Соленый. – <http://masters.donntu.edu.ua/2011/etf/soleniy/library/>

2. Острийковский В. А. Теория надежности : учеб. для вузов / В.А. Острийковский. – М. : Высшая школа, 2003. – 463 с.
3. Барлоу Р. Математическая теория надёжности / Р. Барлоу, Ф. Прошан. – М. : Советское радио, 1969. – 488 с.
4. Диллон Б. Инженерные методы обеспечения надежности систем ; пер. с англ. / Б. Диллон, Ч. Синг. – М. : Мир, 1984. – 318 с.
5. Половко А. М. Основы теории надежности : практикум / А. М. Половко, С. В. Гурев. – СПб : БХВ – Петербург, 2006. – 560 с.
6. Решетов Д. Н. Надежность машин : учеб. пособие для машиностр. спец. вузов под ред. Д. Н. Решетова / Д. Н. Решетов, А. С. Иванов, В. З. Фадеев. – М. : Высшая школа, 1988. – 238 с.
7. Пожидаев В. Ф. К вопросу об аналитической оценке надёжности информационной системы / В. Ф. Пожидаев, П. И. Заболотный, М. И. Кохановский // Техническая механика. – 2012. – № 4. – С. 76 – 81.
8. Хазов Б. Ф. Справочник по расчету надежности машин на стадии проектирования / Б. Ф. Хазов, Б. А. Диудеев. – М. : Машиностроение, 1986. – 224 с.
9. Козлов Б. А. Справочник по расчёту надёжности аппаратуры радиоэлектроники и автоматики / Б. А. Козлов, Н. А. Ушаков. – М. : Советское радио, 1975. – 472 с.
10. Рябинин И. А. Основы теории и расчёта надёжности судовых электроэнергетических систем. 2-е изд. / И. А. Рябинин. – Л. : «Судостроение», 1971. – 456 с.
11. Надёжность систем электроснабжения / В. В. Зорин, В. В. Тисленко, Ф. Клеппель, Г. Адлер. – Киев : Вища школа, 1984. – 192 с.
12. Байхельт Ф. Надёжность и техническое обслуживание. Математический подход / Ф. Байхельт, П. Франкен. – М. : Радио и связь, 1988. – 392 с.
13. Пожидаев В. Ф. Прикладные задачи математической статистики / В. Ф. Пожидаев. – Луганск : Издательство ВУГУ, 1998. – 153 с.

Институт технической механики
НАН Украины и ГКА Украины,
Днепропетровск,

Восточноукраинский
национальный университет
им. В. Даля,
Луганск

Получено 27.01.14,
в окончательном варианте 13.03.14